

УДК 677:539.374.002.28

**АНАЛИЗ МАТЕМАТИЧЕСКИХ МОДЕЛЕЙ ПРОЦЕССА ДЕФОРМАЦИИ  
ТРАНСПОРТИРУЕМЫХ ТЕКСТИЛЬНЫХ МАТЕРИАЛОВ**

**ANALYSIS OF MATHEMATICAL MODELS OF THE DEFORMATION PROCESS  
OF TEXTILE MATERIALS TRANSPORTED**

*В.Ф.ГЛАЗУНОВ*  
*V. F. GLAZUNOV*

(Ивановский государственный энергетический университет)

(Ivanovo State Power University)

E-mail: glazunov@drive.ispu.ru

*В статье рассматриваются статические и динамические модели транспортируемых в зонах деформации текстильных материалов с учетом их вязкоупругих свойств, а также анализ их функций чувствительности к вариации параметров.*

*The article considers static and dynamic models transported in deformation zones textile materials based on their viscoelastic properties, as well as analysis of their functions sensitivity to parameter variations.*

**Ключевые слова:** текстильный материал, деформация, вязкоупругость, чувствительность.

**Keywords:** textile material, deformation, viscoelasticity, sensitivity.

Большая часть технологических операций прядильного, ткацкого и отделочного производств связана с обработкой текстильных материалов в процессе их движения и деформации, которая зависит как от соотношения скоростей рабочих органов машин, так и действующих возмущающих факторов.

Проектирование приводных устройств рабочих органов машин, обеспечивающих заданное натяжение движущегося

текстильного материала, связано с необходимостью разработки адекватной математической модели его процесса деформации. В зависимости от свойств материала и условий нагружения может рассматриваться упругая или вязкоупругая модели.

Впервые уравнение деформации движущегося волокнистого материала получено Н.А. Васильевым [1]. В дальнейшем с различными допущениями и дополнения-

ми оно было использовано при разработке систем электроприводов и решении прикладных задач промышленного производства в работах Д.П. Морозова [2], Ю.М. Файнберга [3], Е.А. Розенмана и А.Я. Лернера [4], А.Я. Мильмана [5], Ю.М. Винтера [6], А.М. Куликова и В.П. Хавкина [7], А.М. Быстрова [8], Г.М. Иванова [9] и др.

Совершенствование приводных устройств текстильного оборудования непрерывно связано с усложнением используемых при их проектировании математических моделей процесса деформации обрабатываемых моделей. В общем случае уравнение деформации упругого материала, транспортируемого с натяжением ведущими и ведомыми валками в соответствии с [1], имеет вид:

$$\frac{d\varepsilon_2}{dt} = \frac{v_2(1+\varepsilon_2)}{L} - \frac{v_1(1+\varepsilon_2)^2}{L(1+\varepsilon_1)}. \quad (1)$$

Здесь  $\varepsilon_2$  и  $\varepsilon_1$  – относительные удлинения материала в зоне деформации и на ее входе;  $v_{1,2}$  – скорости движения материала на входе и выходе зоны деформации.

При решении задач синтеза систем автоматической стабилизации натяжения материала в процессе его обработки используют [8...10] линеаризованный вариант уравнения (1) в виде:

$$\frac{d\varepsilon_2}{dt} = \frac{1}{L}(v_2 - v_1) + \frac{1}{k_v L}(\varepsilon_1 - \varepsilon_2), \quad (2)$$

где  $k_v = \frac{1}{v_2}$ .

Уравнение (2) справедливо при положительных значениях  $\varepsilon_1$  и  $\varepsilon_2$ , что на практике является жестким ограничением.

Ему соответствует передаточная функция процесса деформации материала:

$$H_2(s) = \frac{F(s)}{\Delta v(s)} = \frac{E}{v} \frac{(\tau s + 1)^2}{T\tau s^2 + T(1 + \Theta)s + (1 - \Theta)}. \quad (5)$$

$$H_{II}(s) = \frac{\varepsilon_2(s)}{\left(v_2 - v_1 + \frac{\varepsilon_1}{k_v}\right)(s)} = \frac{k_v}{Ts + 1}, \quad (3)$$

где  $T = \frac{L}{v_2}$ .

Недостатком такой модели является то, что она не позволяет учитывать процесс непрерывного замещения материала и ускорение его движения в зоне деформации, обусловленные его вязкими свойствами [11].

В первом приближении учесть эти свойства можно, представив математическую модель материала последовательным соединением двух блоков с передаточными функциями, первая из которых связывает операторные изображения относительного удлинения материала и соотношения его скоростей  $\Delta v(s)$  на входе и выходе зоны деформации, а вторая – отношение изображений натяжения  $F(s)$  и относительного удлинения. Тогда передаточная функция деформируемого в процессе движения материала

$$H_1(s) = \frac{F(s)}{\Delta v(s)} = \frac{E}{v} \frac{\tau s + 1}{Ts + 1}, \quad (4)$$

где  $E$  – модуль упругости материала, отнесенный к его ширине,  $H$ ;  $\tau = \frac{\eta}{E}$ ;  $\eta$  – модуль вязкости,  $H \cdot c$ .

Передаточная функция (4) позволяет учесть увеличение жесткости материала в динамике за счет действия вязкой составляющей, в общем случае уменьшающей инерционность процесса его деформации, обусловленного соотношением скоростей  $\Delta v(s)$ .

Динамическая модель деформации вязкоупругого транспортируемого полотна и передаточная функция, учитывающая его движение, может быть получена на основе структурного метода распределенных систем [11]:

Здесь  $\Theta = \exp\left(-\frac{T}{\tau}\right)$ ;  $L$ ,  $v$  – соответ-

ственно длина нерастянутого материала,  $m$ , и скорость его движения,  $m/c$ , в зоне деформации.

В соответствии с [11] при  $T/\tau < 0,1$  материал может рассматриваться как вязкий, а при  $T/\tau > 3$  как упругий.

Приняв за исходные передаточные функции (4) и (5), построим зависимость в статике натяжения вязкоупругого материала в зоне деформации от скорости его движения при постоянных значениях  $\Delta v$  и  $E$ . Тогда из (4) и (5) имеем:

$$F_1 = E \frac{\Delta v}{v}, \quad (6)$$

$$F_2 = E \frac{\Delta v}{v(1-\Theta)}. \quad (7)$$

На рис. 1-а представлены зависимости  $F_1$  и  $F_2$  от скорости движения материала. Здесь наблюдается уменьшение его натяжения с ростом скорости движения, обусловленное изменением относительного удлинения  $\Delta v/v$ . Однако при любой скорости движения  $F_2 > F_1$ .

Соотношение постоянных времени  $T$  и  $\tau$  существенно влияет на динамические ха-

рактеристики транспортируемого в зоне деформации материала.

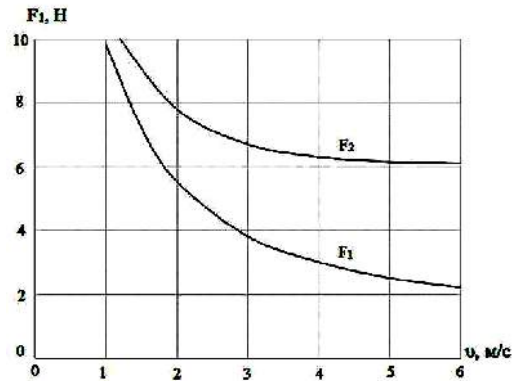
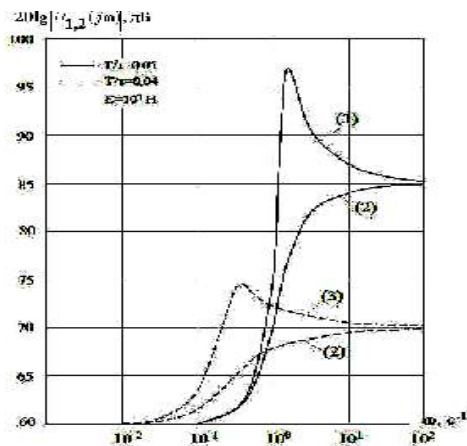
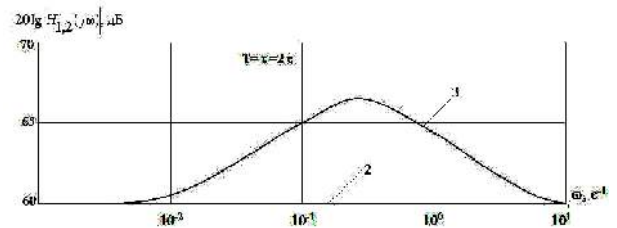


Рис. 1

Так, на рис. 2-а, б представлены расчетные логарифмические амплитудно-частотные характеристики (ЛАЧХ), построенные в соответствии с передаточными функциями (5) и (4) для различных значений  $T$  и  $\tau$ . Их анализ показывает, что при  $T=\tau$  транспортируемый материал в соответствии с (2) может быть представлен безынерционным звеном. Однако в соответствии с передаточной функцией (5) он имеет в существенном для систем стабилизации натяжения материала диапазоне частот ЛАЧХ форсирующего звена (рис. 2-б), что не может быть учтено передаточной функцией (4).



а)



б)

Рис. 2

Практический интерес представляет также чувствительность передаточных

функцией (4) и (5) к вариации параметров  $T$  и  $\tau$ .

Логарифмические функции чувствительности передаточной функции (2) к вариации  $T$  и  $\tau$  соответственно имеют вид:

$$S_T^{H_1}(s) = \frac{\partial H_1}{\partial T} \frac{T}{H_1} = -\frac{sT}{Ts+1}, \quad (8)$$

$$S_\tau^{H_1}(s) = \frac{\partial H_1}{\partial \tau} \frac{\tau}{H_1} = \frac{\tau}{\tau s+1}. \quad (9)$$

После преобразований (5), разложения  $\frac{T}{Ts+1}$  экспоненты  $e^{-\tau s}$  в ряд Тейлора и пренебрежения членами второго и выше порядка малости, имеем:

$$H_2(s) = \frac{E(\tau s+1)^2}{L\tau s^2 + L(2 - \frac{T}{\tau})s + \frac{L}{\tau}}. \quad (10)$$

Тогда логарифмические функции чувствительности (10) соответственно к вариации  $T$  и  $\tau$  имеют вид:

$$S_T^{H_2}(s) = -\frac{\frac{T}{s}}{\tau s^2 + (2 - \frac{T}{\tau})s + \frac{1}{\tau}}, \quad (11)$$

$$S_\tau^{H_2}(s) = \frac{\tau^3 s^3 + 3(\tau - T)s^2 + (3 - \frac{T}{\tau})s + \frac{1}{\tau}}{\tau^2 s^3 + (3\tau - T)s^2 + (3 - \frac{T}{\tau})s + \frac{1}{\tau}}. \quad (12)$$

Знак минус перед функциями чувствительности (8), (11) указывает на уменьшение чувствительности с увеличением соответственно  $T$  и  $\tau$ .

Выполним анализ функций чувствительности (8), (9), (11), (12) в частотной области.

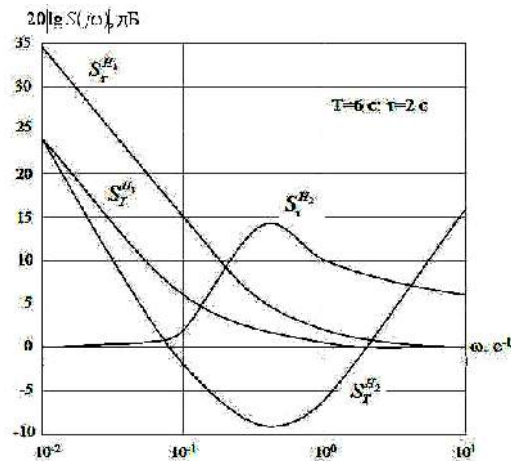


Рис. 3

На рис. 3 представлены зависимости логарифмических частотных функций чувствительности  $S_\tau^{H_{1,2}}(\omega)$ ,  $S_T^{H_{1,2}}(\omega)$ .

Их анализ показывает монотонное уменьшение чувствительности передаточной функции  $H_1(s)$  как к вариации  $\tau$ , так и  $T$ . Функции чувствительности  $S_\tau^{H_2}(\omega)$  и  $S_T^{H_2}(\omega)$  имеют соответственно максимальное и минимальное значения в области существенных частот.

Анализ (11) и (12) показывает, что при  $T=3\tau$  функция чувствительности  $S_T^{H_2}(\omega)$ , а при  $T=2\tau$  функция чувствительности  $S_\tau^{H_2}(\omega)$  не зависят от  $T$  и имеют вид:

$$S_\tau^{H_2}(s) = \frac{\tau^4 s^3 - 6\tau s^2 + 1}{\tau^3 s^3 + 1}, \quad (13)$$

$$S_T^{H_2}(s) = -\frac{2\tau s}{\tau^2 s^2 + 1}. \quad (14)$$

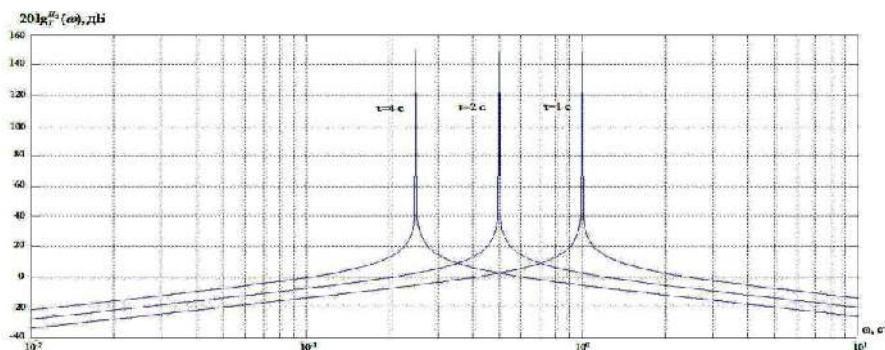


Рис. 4

На рис. 4 представлены логарифмические частотные функции чувствительности, построенные в соответствии (14), показывающие смещение с ростом  $\tau$  максимума функции чувствительности к вариации постоянной времени  $T$  в область низких частот.

## ВЫВОДЫ

Частотные характеристики динамической модели транспортируемого в зоне деформации вязкоупругого материала существенно зависят от его параметров, что необходимо учитывать при проектировании автоматических систем регулирования его натяжения в технологическом оборудовании непрерывного действия.

## ЛИТЕРАТУРА

1. *Васильев Н.А.* Вопросы теории прядения. – Гизлегпром, 1932.
2. *Морозов Д.П.* К теории электромеханических процессов в электроприводе станов холодной прокатки // Вестник электропромышленности. – 1944, № 3.
3. *Файнберг Ю.М.* Авторегулирование при холодной прокатке. – Металлургиздат, 1960.

4. *Розенман Е.А. Лернер А.Я.* Переходные процессы при холодной прокатке с натяжением // Сталь. – 1948, № 10.

5. *Мильман А.Я.* Исследование динамики натяжения нитей при их сматывании с рулона // Изв. вузов. Технология текстильной промышленности. – 1964, № 5.

6. *Винтер Ю.М.* Некоторые вопросы динамики натяжения каната // Научн.-исслед. тр. ЦНИИЛВ. – М.: Легкая индустрия, 1966, т. XXI.

7. *Куликов А.М., Хавкин В.П.* Многозонные перематывающие устройства как объект автоматического управления // Изв. вузов. Технология текстильной промышленности. – 1968, №1. С.114...117.

8. *Быстров А.М.* Некоторые результаты исследования натяжения ткани, создаваемые роликовым компенсатором // Текстильная промышленность. – 1956, № 6.

9. *Иванов Г.М.* О регулировании натяжения в агрегатах для обработки корда // Изв. вузов. Электромеханика. – 1968, № 2.

10. *Глазунов В.Ф., Прокушев С.В.* Автоматизация оборудования для непрерывной обработки текстильных материалов. – Иваново: ИГЭУ, 2002.

11. *Глазунов В.Ф., Бурков А.П.* Динамическая модель процесса деформации вязкоупругого транспортируемого материала // Изв. вузов. Технология текстильной промышленности. – 1985, №6. С.67...71.

Рекомендована кафедрой электропривода и автоматизации промышленных установок. Поступила 16.04.14.